

## 潮流模型実験における流動・拡散におよぼす歪率の影響について

徳島大学工業短期大学部 正会員 村上 仁士  
 同 上 正会員 細井 由彦  
 岡山県 正会員 ○古川 宏

1. まえがき 内湾や内海における水質汚濁の機構を解明するための有力な手法の一つである水理模型実験には、模型を歪めなければならぬという欠点があつたため、流動・拡散特性に関して種々の問題が生ずる。そこで本研究では、歪率・水平縮尺の異なる二種水深の単純長方形湾モデルに対し、熱膜流速計および水素気泡法で求めた流速のデータに基づき、模型実験から得られる歪など縮率効果について探らうとするものである。特に、湾内の流れを支配すると考えらるる湾口部の流動現象について詳細な検討が行はれた。

2. 実験方法 長さ365cm、幅182cm、深さ30cmでペイント仕上げの実験水槽中に、図-1に示すような湾口ゲート

寄った長方形湾を設け、Froude則に基づき表-1のふうで歪率・水平縮尺の異なる3種のモデルを設定した。これら3つのケースについて、図-1の各点で鉛直・水平流速分布および表層部のEuler流速の測定を行ひ、原型換算して比較した。また、この流速データに基づき拡散係数も求めた。このため、以下に示した流速との他の値はすべて原型換算した値である。

3. 流速特性 図-2に湾口部における恒流をベクトル表示している。これによると湾口部の恒流の方向にはかなりの相似性が認められる。しかし、その大きさではCase 2の値が最も小さく、歪が大きくなると恒流は小さく、水平縮尺が小さくなると大きくなることがわかる。図-3に湾口部のY方向のEuler流速から半日周期の流速変動成分を除いた乱れ強度の分布を、また、図-4に、A6点における自己相関係数の変化を示している。図-4では

一定周期成分以外の細かい振動のようすから、歪率を大きくすることによりこの付近の乱れは周期が短かくなり、水平縮尺を小さくすると乱れが少なくなることを示しており、これは図-3のCase 3の場合に乱れが少ないこととも一致する。Case 3のようすが水平縮尺

の小さい模型において、湾内の環流が大きくなれることが知られているが、図-1に示した湾口部の水平流速分布が壁体側からの7km付近までよく一致していることからこの部分の流速分布の差によるよりもむしろ、湾口周辺での乱れの周期性や強度の違いによりエネルギーの減少率が異なるためと考えられる。

4. 拡散特性 先のEuler流速から各測定での拡散係数を求め表-2に示している。湾口部およびB点での値から湾口周辺ではY方向に大きな異方性の乱れの場であり、Case 2の値が他のケースに比べ小さいがその差は少なく歪率・水平縮尺の違いによる縮率効果は見られないと。湾内の測定については、D・G点では拡散係数の差は小さく、C点のX方向の値とE点のCase 1の値が他に比べ差が大きくなっている。E点は湾内における最も

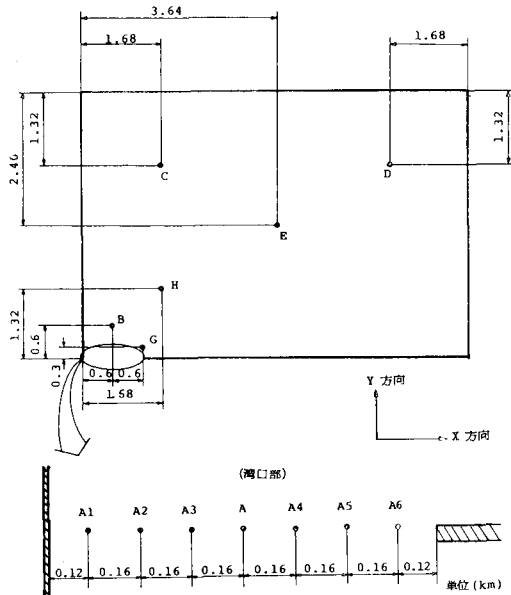


図-1 湾形および流速測定地点

表-1 実験諸元

|                               | Factor | Prototype | Case 1 | Case 2 | Case 3   |
|-------------------------------|--------|-----------|--------|--------|----------|
| Bay                           | Length | 4.88 km   | 122 cm | 122 cm | 69.7 cm  |
|                               | Width  | 7.28 km   | 182 cm | 182 cm | 104 cm   |
| Width of the mouth of the bay |        | 1.2 km    | 30 cm  | 30 cm  | 17.14 cm |
| Water depth                   |        | 20 m      | 5 cm   | 10 cm  | 5.7 cm   |
| Horizontal                    | Xr     | 1         | 1/4000 | 1/4000 | 1/7000   |
| Vertical                      | Hr     | 1         | 1/400  | 1/200  | 1/350    |
|                               | Hr/Xr  | 1         | 10     | 20     | 20       |

流速の遅い部分であり、しかも Case 1 の場合模型での流速が他のケースより小さいことからこの場合のこの水域の流れが層流に近い状態にあるものと考えられる。このことは、E 点の Case 1 の自己相関係数が比較的早いずらし時間でゼロを切ることからも支持される。また、C 点は湾口からの強い流れが突きあたる領域であり恒流の方向も異なっている。つまり、湾内における拡散現象は、流況が異なりしかも、湾口からの強い流れが直接影響する領域を除き、縮率による違いは認められないことが明らかになつた。

5. あとがき 今回の実験ではパワースペクトルにより、  
湾口部の乱れを評価することはできなかつた。今度、さらに粗度変化による影響を明らかにすることが望ましい。

#### 参考文献

- 1) 磯口・安田・早川： 湾内水理模型における循環効果に関する実験的研究、京大防災研年報 19 号 B、1976
- 2) 和田・吉昌： 湾内海における現況と分散特性、21 回海岸工学講演会論文集、1974

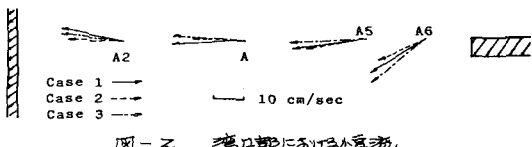


図-2 湾口部における流れ

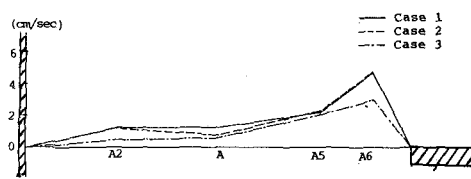


図-3 湾口部における流れの分布

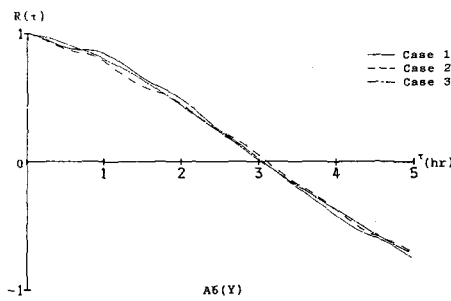
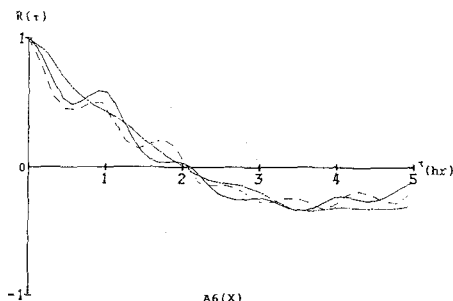


図-4 A6点における自己相関係数の変化

表-2 拡散係数

(cm<sup>2</sup>/sec)

|    | Case 1                | Case 2              | Case 3              |
|----|-----------------------|---------------------|---------------------|
| A2 | X $1.084 \times 10^3$ | $5.199 \times 10^4$ | $1.005 \times 10^4$ |
|    | Y $2.000 \times 10^4$ | $2.202 \times 10^4$ | $2.568 \times 10^4$ |
| A  | X $7.880 \times 10^4$ | $5.222 \times 10^4$ | $5.705 \times 10^4$ |
|    | Y $4.707 \times 10^4$ | $2.997 \times 10^4$ | $3.731 \times 10^4$ |
| A5 | X $1.512 \times 10^3$ | $8.788 \times 10^4$ | $7.589 \times 10^4$ |
|    | Y $6.079 \times 10^4$ | $4.183 \times 10^4$ | $5.528 \times 10^4$ |
| A6 | X $3.480 \times 10^3$ | $2.064 \times 10^4$ | $2.444 \times 10^4$ |
|    | Y $3.434 \times 10^4$ | $3.104 \times 10^4$ | $3.117 \times 10^4$ |
| B  | X $2.857 \times 10^3$ | $2.212 \times 10^4$ | $2.360 \times 10^4$ |
|    | Y $3.049 \times 10^4$ | $3.202 \times 10^4$ | $4.113 \times 10^4$ |
| C  | X $5.259 \times 10^3$ | $1.005 \times 10^4$ | $9.490 \times 10^3$ |
|    | Y $1.021 \times 10^4$ | $2.233 \times 10^4$ | $2.375 \times 10^4$ |
| D  | X $3.947 \times 10^3$ | $1.278 \times 10^4$ | $1.985 \times 10^4$ |
|    | Y $6.844 \times 10^4$ | $8.805 \times 10^4$ | $7.302 \times 10^4$ |
| E  | X $1.756 \times 10^3$ | $2.175 \times 10^4$ | $9.689 \times 10^3$ |
|    | Y $2.557 \times 10^4$ | $2.612 \times 10^4$ | $1.480 \times 10^4$ |
| G  | X $8.143 \times 10^3$ | $2.050 \times 10^4$ | $1.038 \times 10^4$ |
|    | Y $1.063 \times 10^4$ | $1.762 \times 10^4$ | $3.387 \times 10^4$ |

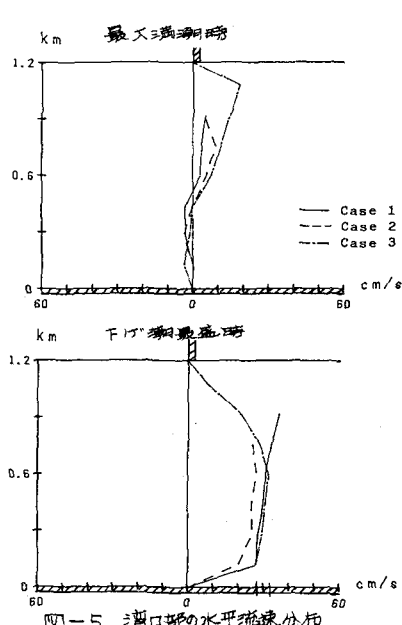


図-5 湾口部の水平流速分布